



Title	実験的表皮増殖におけるポリアミンの役割に関する研究
Author(s)	滝川, 正春
Citation	大阪大学, 1977, 博士論文
Version Type	VoR
URL	https://hdl.handle.net/11094/31621
rights	
Note	

Osaka University Knowledge Archive : OUKA

<https://ir.library.osaka-u.ac.jp/>

Osaka University

「実験的表皮増殖におけるポリアミンの
役割に関する研究」

大阪大学大学院歯学研究科

歯学基礎系生化学

滝川正春

緒 言

アトレフシン、スペルミジン、スペルミンなどのポリアミンは、生物界に普遍的に分布する生体アミンである。これらポリアミンの発見の歴史は古く、1927年までにその化学構造が決定されていたにとかかわらず、生理的意義については長らく不明であった。^{1,2)}しかし1960年代の後半以降、動物組織のポリアミン含量が、前立腺、肺、胸腺、骨髓などの蛋白および核酸合成の盛んな組織で特に高く、また、ホルモンや薬物の投与あるいは外科的処置により実験的に組織増殖を誘発した場合、核酸合成の増加に先行あるいは並行して標的組織のポリアミン合成活性およびレベルが著しく上昇することが明らかにされ、ポリアミンと細胞増殖との密接な相関が大きな注目を浴びてき^{1~7)}た。さらに最近、腫瘍の増殖とポリアミンレベルとの間にも密接な関連があることが証明され、臨床医学的にも大きな関心を集めている。^{4~7)}

動物組織ではポリアミンは図1に示す経路で合成される。これらの反応を触媒する酵素のうちオルニチン脱炭酸酵素〔EC 4.1.1.17〕とS-アデノシルメチオニン脱炭酸酵素〔EC 4.1.1.50〕はともに、組織に増殖刺激が加えられた場合、増殖の開始に先行して著明な活性上昇を示すが、オルニチン脱炭酸酵素のそれはもっともすみやかでかつ顕著である。また、オルニチン脱炭酸酵素の反応生成物であるアラブレクシンはスペルミジンおよびスペルミンの前駆体となるのみならず、S-アデノシルメチオニン脱炭酸酵素を強く活性化することが知られており、したがってオルニチン脱炭酸酵素はポリアミン合成の最も重要な律速酵素とされている。^{2,3,5~7)}

このように、ポリアミンと細胞増殖との密接な相関を示唆する報告は数多くなされていながら、ポリアミンの生理的意義についてはなお不明な点が多く、特にポリアミン合成の亢進が細胞増殖に不可欠であるか否かについて

図1

は未だ明らかでない。

一方、テレビン油, ethylphenylpropiolate あるいは phorbol ester とマウス皮膚に塗布すると、表皮の増殖、肥厚の見られることが知られている。^{8~12)} 特に構造の明らかな ethylphenylpropiolate では、同様度の高い一過性の DNA 合成と細胞分裂の促進がみられ、表皮も著明に肥厚する。したがってこの系は細胞増殖機構の研究に適した実験系であると考えられる。

本研究は、ethylphenylpropiolate (EPP) によるマウス表皮増殖時のポリアミン代謝について検討を加えるとともに、ポリアミン合成の律速酵素としてもうひとつ重要なオルニチン脱炭酸酵素の特異的阻害剤である DL- α -ヒドラジノ-8-アミノバレリアン酸 (DL-HAVA)¹³⁾ を用いて表皮増殖におけるオルニチン脱炭酸酵素、さらにはポリアミンの役割を追析したものである。

材料と方法

1. 動物の処置

実験には体重25～30 gのddK系雄性マウスを用い、hair cycleを考慮して少なくとも実験開始の5日前までにクリッパーで背部の毛を除き、実験当日まで毛の再生の見られないマウスのみを選んで使用した。^{8~10, 12)} 実験動物は固型飼料（オリエンタル酵母社製）と水を自由摂取させたが屠殺の2時間前より絶食した。

Ethylphenylpropionate(EPP)は0.1 mlのアセトン溶液とし、除毛した背部皮膚(2×4 cm)にマイクロシリンジを用いて均一に塗布した。また、対照群には0.1 mlのアセトンを塗布した。他の薬物はすべて投与直前に0.2 mlの生理食塩水に溶解し、腹腔内または皮下に注射し、対照群には同量の生理食塩水を投与した。

マウスの屠殺は日内リズムの影響を避けるため10時から15時の間にを行なった。屠殺

後ただちにEPPを塗布した部位の皮膚を剥出し、可及的に皮下組織を除いた後、重量を測定して以下の実験に供した。

2. 酵素活性の測定

組織(200~300mg湿重量)を10mMリン酸ナトリウム緩衝液(pH7.0), 5mMジチオスレイトール, 0.2mMピリドキサールリン酸, 0.1mMEDTAを含む氷冷した0.25M蔗糖液中でポリトロンを用いてホモジナイズし, 4°C, 105,000×gで30分間遠心して、その上清を酵素液とした。

オルニチン脱炭酸酵素活性の測定は当教室で先に報告した方法^{14,15)}により、またS-アデノシルメチオニン脱炭酸酵素活性の測定は2.5mMの7°トレフシンの存在下でJanneおよびWilliams-Ashmanの方法¹⁶⁾により、これをカルボキシル基を¹⁴Cでラベルした基質から遊離された¹⁴CO₂を測定して行なった。

両酵素とも37°C, 1時間の反応で/*n*molのCO₂を遊離する酵素量を1unitとして表す

した。

3. ポリアミンの定量

組織を 9 ml の氷冷した 2% 過塩素酸中で
ポリトロンフ¹¹でガラスホモジナイザーを用
いてホモジナイズし、4°C、20,000 × g で
20 分間遠心した。上清を分離後、沈殿を 3
ml の 2% 過塩素酸で 2 回遠心洗浄し、得さ
れた上清をもとの上清と混合した。この混合
上清中のポリアミンを、まず Dowex-50 カ
ラムで分離して濃縮し、フ¹¹で滤紙電気泳動
法により分画したの^{14,15,17}、ニンヒドリンで発色
し比色定量した。

4. スペルミジンよりのアトトレッシンの生 成の測定

マウスに 1 μCi の (テトラメチレン 1,4-
¹⁴C) スペルミジン (10.03 mCi/mmol) を皮下
注射し、4 時間後に屠殺した。上記の方法に
よって Dowex-50 カラムで分離、濃縮した
ポリアミン画分を、Dion と Herbst の方法に
従¹⁸⁾てタシシル化した後、シリカゲル薄層ク

ロマトグラフィーで分画した。ついで、プロトレッシンとスペルミジンの部位を紫外線下で確認して、これぞこれに相当する部位のシリカゲルをカミソリの刃で削りとり、細かく碎いたのち、3mlのメタノール・28% NH₄OH (95:5) 中で15分間振盪してダシルアミンを抽出した。1,000×gで10分間遠心したのち、上清の一部にInsta-Gelシンチレーション溶液(10ml)を加えて、Aloka LSC 653型液体シンチレーションスペクトロメーターを用いて放射能を測定した。また、ポリアミンの定量は、残りの上清中のダシルアミンを日立204型分光蛍光光度計で測定して行なった。なお、蛍光は、340nmで励起し、520nmで測定した。

5. DNA合成能の測定

In vitroの実験では、ガラスナイフを用いて調製した皮膚、ミンス(1×1mm)を、10mM HEPES(*N*-2-hydroxyethylpiperazine-*N'*-2-ethanesulfonic acid)を含む10mlの

イーグルのMEM液(pH 7.4) 中で30分間アグレインキュベートしたのち、 $10 \mu\text{Ci}$ の [$\text{メチル-}^3\text{H}$] チミジン ($5 \text{ Ci}/\text{mmol}$) を添加した新鮮培養液 (5 ml) 中に移し、 37°C 、 100% 気相中でさうに1時間インキュベートした。インキュベーション後、組織を 0.5 mM のチミジンを含む氷冷生理食塩水 (50 ml) で2回洗滌したのち、 9 ml の 2% 過塩素酸中でホモジナイズした。ホモジネートを 4°C で、 $20,000 \times g$ 、20分間遠心したのち、得られた沈殿を 2% 過塩素酸 (3 ml) で¹⁹⁾ 2回洗滌した。この沈殿から Steele の方法によ、て脂質を除去したのち、Schmidt および Thannhauser の方法²⁰⁾ によ、て DNA を可溶化し、とり込まれた放射能および DNA 量を測定した。

In vivo の実験では、 $20 \mu\text{Ci}$ の [$\text{メチル-}^3\text{H}$] チミジン ($20 \text{ mCi}/\text{mmol}$) を屠殺20分前に皮下注射して、ついで上記の方法により DNA を抽出した。

6. 蛋白定量およびDNA定量

蛋白量は牛血清アルブミンを用いて Lowry の方法²¹⁾により測定した。DNA は仔牛胸腺 DNA を標準液として、Schneider の方法²²⁾により定量した。

7. 組織学的検索

表皮細胞の分裂は著明な日内リズムを示し、10 時に最大で 22 時では最小となり²³⁾こと知られている。ここで組織学的検索では、マウスは 19 時～23 時に屠殺した。なお、細胞分裂指數を調べた際は、コルヒチン (5 mg/kg 体重) を屠殺 1 あるいは 4 時間前に腹腔内注射した。

剔出した組織片は、通常に従って 10% 中性ホルマリンで固定、アルコール脱水、パラフィン包埋、薄切 ($5\mu\text{m}$) し、ヘマトキシリン・エオジン染色を施して、光学顕微鏡で観察した。²⁴⁾

表皮の非角化層の厚さは、毛囊間の表皮について、倍率 400 倍で接眼マイクロメーター

を用いて1組織片当たり任意に最少20個所を測定し、その平均値を採用した。表皮有核細胞の層数も、同倍率で同じ部位を測定し、平均値を採用した。⁹⁾ 細胞分裂指数は1,000倍で、最少1,000個の基底細胞中の分裂期核を有する細胞数を数え算出した。

8. 試薬

DL- α -ヒドラジノ- δ -アミノバレリアン酸(DL-HAVA)は、大日本製薬中央研究所の西村温樹博士より供与されたものを使用した。DL-[1-¹⁴C]オルニチン・HCl, S-アデノシル-L-[カルボキシル-¹⁴C]メチオニン、[テトラメチレン-1,4-¹⁴C]スペルミシン・3HClならびに[メチル-³H]タミジンはいずれも New England Nuclear Co. より購入した。Ethylphenylpropionate は Aldrich Chemical Co. 製を、プロトレンシン、スペルミジンならびにスペルミンの塩酸塩は、Sigma Chemical Co. 製を用いた。

実験結果

1. EPPによる表皮の増殖

図2はEPP塗布後の *in vivo* での皮膚DNA合成能の変動を調べたものである。マウス当り $15 \mu\text{mol}/\text{kg}$ のEPPを塗布すると、DNA合成は12時間後より増加しはじめ、24時間で正常値の約2.5倍の最大値に達した。

図2.

つぎに、EPP塗布後にみられた組織学的变化について検索した。アセトンのみを塗布したマウスの背部表皮は、正常マウスの表皮と差はみられず、図7-Aに示すように1~2層の有核細胞と薄い角化層からなり、きわめて薄い。しかしEPPを塗布すると、36時間後には図7-Bに示すように表皮は著明に肥厚した。うちなかる有核細胞が数層に増加するとともに顆粒層が出現し、さらに表層も錯角化の状態を示し肥厚がみられた。また、基底細胞に多数の核分裂像が認められた。

このような変化を経時的に計測した結果を図3に示した。基底細胞の分裂指数はEPP

図3.

塗布後 24 時間すでに有意の上昇を示し、36 時間で正常値の約 20 倍となり最大値に達した。また、表皮の有核細胞の層数も 24 時間で有意に上昇し、36 時間で正常の約 2.5 倍の最大値を示した。さらに非角化層の厚さも同様の変動を示し、36 時間で最大となり、正常の約 2.5 倍に達した。

2. EPP 塗布後のポリアミン代謝の変動
 また、ポリアミン合成の律速酵素として最も重要なオルニチン脱炭酸酵素活性を測定した。図 4 は種々の量の EPP を塗布し、8 時間後の皮膚オルニチン脱炭酸酵素活性を測定したものである。酵素活性は塗布した EPP の量に比例して上昇し、マウス当り $15 \mu\text{mol}$ で正常値の約 30 倍の最大活性を示した。しかし、EPP の量をさらに増加すると、酵素活性の上昇は逆に低下した。なお、EPP 塗布による皮膚 DNA 合成活性の促進は EPP 量が過剰であるとむしろ低下し、皮膚に壞死の生ずることが報告されている。¹⁰⁾したがって

図 4.

以下の実験ではEPPはマウス当り $15\mu\text{mol}$ を使用した。

図5はEPP塗布後の皮膚ポリアミン合成の律速酵素活性の経時的変動を示したものである。オルニチン脱炭酸酵素活性はEPP塗布4時間後より急速に上昇し、8時間後に最大となるが、以後すみやかに低下した。一方

S-アデノシルメチオニン脱炭酸酵素活性は4時間後より徐々に上昇し、20時間で正常値の約5倍の最大活性を示し、以後漸次低下した。したがって、本酵素活性、上昇は、オルニチン脱炭酸酵素に比して遅くかつ小さい

図6はEPP塗布後の皮膚ポリアミンレベルの変動を調べたものである。プロトレッシンレベルはオルニチン脱炭酸酵素活性と一致して著明な変動を示し、EPP塗布4時間後より上昇はじめ、8時間後で正常値の約4倍の最大値となり、以後急速に低下した。また、スペルミシンレベルは4~6時間で有意の

低下を示した後、徐々に上昇し、28時間で正常値に比して約30%の増加を示した。これに対して、スペルミンレベルはほとんど変動しなかった。なお、²⁵⁾プロトレッシンの上昇の初期にみられるスペルミンレベルの低下は、イソプロテロノールによるマウス耳下腺の増殖の場合にも観察されており、この低下はスペルミンのプロトレッシンへの分解の促進によると考えられる。²⁶⁾ここでEPP塗布後に同様なスペルミン分解の促進がみられるか否かを検討した。

表1は、EPP塗布1時間前に¹⁴C-スペルミンを皮下注射して皮膚のスペルミンレベル、EPP塗布6時間後のプロトレッシンならびにスペルミンを分析した結果を示したものである。表から明らかのように、EPP塗布によるプロトレッシンレベルの増加は6時間後では約70%にすぎないが、スペルミンの放射能比活性とプロトレッシン中の放射能から算出したスペルミンよりのプロトレ

表1

ツシンの生成量は、EPP塗布により約3倍に増加している。この事実は、EPP塗布4~6時間後にみられたスペルミジンレベルの低下の一因が、スペルミジンよりのプロトレッシン生成の亢進にあることを示している。

3. オルニチン脱炭酸酵素活性阻害剤の影響

上記のように、EPPによるマウス表皮の増殖時には、DNA合成の増加に先行して、オルニチン脱炭酸酵素活性ならびにプロトレッシンレベルが著明に上昇する。ここで、このプロトレッシンレベルの上昇が表皮増殖に不可欠であるか否かを追求するため、オルニチン脱炭酸酵素活性の阻害剤であるDL-α-ヒドロジノ-β-アミノバレリアン酸(DL-HAVA)を用いて検討した。なお、本阻害剤はオルニチンの構造類似体でありて、オルニチンと拮抗してオルニチン脱炭酸酵素活性を強力かつ特異的に阻害する。^{13,25)}

表2にEPPによるポリアミンレベルの変

動に及ぼす DL-HAVA の影響を示した。本実験では、オルニチン脱炭酸酵素活性が上昇しはじめた時期、すなわち EPP 塗布 4 時間後に DL-HAVA (0.4 mmol/Kg 体重) を腹腔内注射し、4 時間後すなわち EPP 塗布 8 時間後に皮膚のポリアミンレベルを測定した。表 2 から明らかなように、EPP による P° トレスシンレベルの上昇は DL-HAVA の投与により著明に抑制された。なお、DL-HAVA を投与した動物に屠殺 1 時間前に P° トレスシン (0.5 mmol/Kg 体重) を腹腔内注射すると、 P° トレスシンレベルは対照レベルまで上昇した。一方、スペルミジンレベルは EPP 単独処置群と DL-HAVA 投与群との間に有意の差は認められなかつた。

つきに、EPP による P° トレスシンレベルの上昇を DL-HAVA で抑制した場合、表皮増殖因子のどのような影響を受けるかを検討した。表 3 は DNA 合成に及ぼす DL-HAVA の影響を検討したものである。なお本実験では

DNA合成活性の測定は皮膚ミンスを用いて in vitro 行なた。EPP塗布により DNA合成は 20 時間後には対照の約 1.7 倍に上昇するが、DL-HAVA (0.4 mmol/Kg 体重) を EPP 塗布 4 時間後に投与して ³Pトレフシンレベルの上昇を抑制すると(表 2)，このDNA合成活性の上昇がほぼ完全に阻止された。ついで、この阻止が真に ³Pトレフシンレベルの低下に起因するか否かを検討するため、DL-HAVA 投与の 30 分および 4 時間後に 2 回 ³Pトレフシン (0.5 mmol/Kg 体重) を投与して皮膚の ³Pトレフシンレベルを上昇させると(表 2)，DL-HAVA による DNA 合成の阻害はほぼ完全に消失した。なお、この ³Pトレフシンの作用は特異的である。 ³Pトレフシンの構造類似体であるカタヘリンあるいは 1,7-ジアミノヘプタンでは、DNA 合成活性の回復はほとんどみられない。これらの事実は、EPP による表皮増殖では、³Pトレフシンレベルの上昇が必要かつ不

可欠であることを示している。

そこで、この点をさるに明確にするため、組織学的検索もあわせて行なった。表4に示すように、EPP塗布4時間後にDL-HAV表4 Aを投与すると、表皮の非角化層の厚さ、有核細胞層数ならびに基底細胞の分裂指數が増加は著明に抑制された。図7-Cはその組織像の一例で、EPP処置群(図7-B)で見られた組織学的变化は、DL-HAV Aの投与によりほとんど観察されなくなり、対照(図7-A)に近い組織像を呈している。

これに対して、DL-HAV A投与30分と4時間後に2回^{1/2}トレンシンを投与した場合には、表皮非角化層の厚さ、有核細胞層数および細胞分裂指數は、いずれもEPP処置群とほぼ同レベルにまで回復した(表4)。図7-Dはその組織像であるが、EPP処置群(図7-B)と同様に著明な表皮の肥厚がみられ、顆粒層、錯角化および核分裂像を認められた。すなはち、^{1/2}トレンシンの投与によ

て DL-HAV A の増殖阻止効果が消失することかわかった。このよくな回復効果もプロトレッシンに特異的であり、同族体であるカタベリンは全く効果がなかた。

考 察

Raickら¹⁰⁾は、マウス皮膚に $40\mu\text{mol}$ の EP P を塗布すると、皮膚 DNA 合成は初期に一旦低下したのち上昇し、28時間で正常の約 2 倍、最大値に達すると報告している。また、彼らは組織学的検索を行なって、表皮の非角化層の厚さおよび有核細胞層数は 48 時間後に最大となり、基底細胞の分裂指数は 44 時間後に最大となると述べている。本研究では、マウス当り $15\mu\text{mol}$ の EP P 塗布により、DNA 合成は 24 時間後に正常の約 2.5 倍の最大値に達し、表皮の非角化層の厚さ、有核細胞層数および基底細胞分裂指数はいずれも 36 時間に最大となる（図 2, 3）。すなわち、本研究における DNA 合成の増加およ

びこれに伴う表皮増殖は Raick's の報告に比して若干早いが、この差違は 過量の EPP では rRNA 合成の上昇度は低下し、かつ遅延するとの報告もあるので、EPP 塗布量の相違によるものと考えられる。これと一致して、ポリアミン合成の最も重要な律速酵素であるオルニチン脱炭酸酵素活性の上昇度と、マウス当り $15\mu\text{mol}$ の EPP で最大となり、過量では逆に低下する（図 4）。この事実は、DNA 合成の増加とオルニチン脱炭酸酵素活性の上昇とか密接に関係していることを唆している。

EPP の塗布により、オルニチン脱炭酸酵素活性は DNA 合成の増加に先行して著明に上昇し、8 時間後に正常の約 30 倍の最大活性を示す。また、もう一つの律速酵素である S-アデノシルメチオニン脱炭酸酵素活性も上昇するが、その上昇はオルニチン脱炭酸酵素に比して遅く、かつ顕著ではない（図 5）。

O'Brien^{27~29)} も EPP あるいは表皮増殖と起こ

ことが知られている phorbol ester によって
両律速酵素活性の上昇することを報告して
いる。なお、薬物塗布のみならず³⁰⁾毛髪や創傷
治癒の過程でも、DNA合成の上昇に先行し
て皮膚のオルニチン脱炭酸酵素活性が上昇す
ることが知られている。

一方、皮膚のプロトレフシンレベルはオルニ
チン脱炭酸酵素活性と一致して著明に変動し
、8時間後に正常値の約4倍の最大値を示す
。また、スペルミシンレベルはDNA合成の
増加とほぼ一致して上昇し、28時間後で正
常に比して約30%増加したが、増殖初期す
なわちEPP塗布後4~6時間ではむしろ有
意の低下を示す(図6)。この低下の一因と
して表1に示したEPPによるスペルミシン
からのプロトレフシン生成の亢進があげられた
。したがって、プロトレフシンレベルの上昇に
は、オルニチン脱炭酸酵素の活性上昇のはか
、スペルミシンからプロトレフシンへの分解も関
与していると考えられる。このようなスペル

ミジンよりのアトレスシン生成は、再生肝あるいは四塩化炭素による肝障害³¹⁾の際にも報告されている。しかし、スペルミンレベルはEPP塗布後28時間までほとんど変動しない(図6)。

以上のように、EPPによるマウス表皮増殖時には、DNA合成に先行あるいは一致して著明なポリアミン代謝の変動がみられるが、特にオルニチン脱炭酸酵素活性およびアトレスシンレベルの上昇が最もすみやかでかつ顕著である。このようなオルニチン脱炭酸酵素活性およびそれに伴うアトレスシンレベルの上昇は他の増殖系においても報告されている。^{2,3,8,9,14,15,33~41)}また、Williams-Ashmanらは種々のMorrisの肝癌を用いて、増殖の早いものほどアトレスシンレベルが高い傾向があることを見出し、細胞増殖におけるポリアミンの重要性を指摘している。⁴²⁾

オルニチン脱炭酸酵素の特異的な阻害剤であるDL-HAVAをEPP塗布4時間後に投

与すると、塗布8時間後のアトレッシュレベルの上昇は約50%抑制される(表2)。しかしDL-HAVAの投与量をさらに増加しても、アトレッシュレベルの上昇をこれ以上抑制することはできない(未発表データ)。この理由の一つとして、表1に示したEPPによるスペルミシンよりのアトレッシュ生成反応が、DL-HAVAによつて阻害されないことが考えられる。

表3、4および図7に示すように、DL-HAVAを投与すると、DNA合成、表皮有核細胞層数、基底細胞の分裂指數などのEPPによる増加が、いずれも著明に抑制される。すなわち、EPPによるアトレッシュレベルの上昇をDL-HAVAで阻止すると、これと一致して細胞増殖も著明に抑制される。しかし、スペルミシンレベルはDL-HAVA投与群(EPP塗布8時間後: 442 ± 16 , 10時間後: 582 ± 26 nmol/g 湿重量)とEPP単独処置群(8時間後: 473 ± 31 , 10時間

後: $569 \pm 48 \text{ nmol/g}$ 湿重量)との間に有意の差は認められない。また、DL-HAVA 处置マウスにアトレフシンを投与して、低下した組織内アトレフシンレベルを上昇させると、DL-HAVA による表皮増殖の抑制ほぼ完全に回復する。しかもこの回復作用は、アトレフシンに特異的であってアトレフシンの構造類似化合物であるカダベリン³⁴⁾あるいは、クジアミノヘプタンでは認められない。このような DL-HAVA の増殖抑制作用ならびにアトレフシンの特異的な回復作用は、イソ²⁵⁾アロテレノールによるマウス下腹³⁵⁾の増殖やマウス腋窩部の Sarcoma-180³⁹⁾の増殖の場合にも観察されている。

以上の事実は、スペルミシンの前駆体として以外に、アトレフシンが細胞増殖に重要な役割を果たしており、組織増殖の初期にみられるアトレフシンレベルの上昇が細胞増殖に必須であることを示している。

総括

Ethylphenylpropionate (EPP) によるマウス表皮増殖時、ポリアミン代謝の変動ならびに表皮増殖におけるポリアミンの役割を追求し、以下の結果を得た。

1. EPP塗布により皮膚DNA合成は、12時間後より増加しはじめ24時間で最大値を示した。また、表皮の厚さ、有核細胞層数および基底細胞の分裂指数の増加は36時間後に最大となる。

2. DNA合成の増加に先行して、ポリアミン合成の律速酵素であるオルニチンおよびS-アデノシルメチオニン脱炭酸酵素活性が著明に上昇した。特に前者の活性上昇は後者に比してやすやかかつ顕著で、EPP塗布8時間後には正常値の約30倍に達した。オルニチン脱炭酸酵素活性の変動と一致してプロテシンレベルも著明に変動し、EPP塗布8時間後に正常値の約4倍の最大値を示した。一方、スペルミジンレベルはEPP塗布後

4~6時間で有意の低下を示すが、これと一致してスペルミシンのプロトレフシンへの分解も6時間後では正常の約3倍に亢進した。その後、スペルミシンレベルは徐々に上昇して28時間で正常値に比して約30%増加した。これに対して、スペルミンレベルはほとんど変動しなかった。

3. オルニチン脱炭酸酵素活性の特異的阻害剤であるDL-HAVAを投与して、EPによるプロトレフシンレベルの上昇を抑制すると、DNA合成、表皮有核細胞層数、基底細胞の分裂指數などを指標とした表皮増殖が著明に抑制された。また、この抑制はプロトレフシンを投与して組織内プロトレフシンレベルを上昇させることによりほぼ完全に回復した。しかし、この回復作用はプロトレフシンに特異的である。プロトレフシンの構造類似体であるカタベリンやノクシアミノヘプタンでは全くその作用が認められなかっ。

以上の結果から、EP塗布によるマウス

表皮の増殖には、複製前期にみられるオルニチン脱炭酸酵素の誘導ならびにプロトレッシンレベルの上昇が必須かつ不可欠であることが示された。

謝 辞

稿を終えにあたり、終始御指導、御校閲を賜、大生化学講座竹田義朗教授に深甚なる謝意を表しますとともに、御校閲と御助言を頂いた口腔病理学講座八木俊雄教授、生化学講座鈴木不二男助教授に深く感謝致します。

なお本研究を実施するにあたって、終始ひとかたならぬ御指導と御教示を頂いた生化学講座井上秀夫講師、ならびに、組織標本の作製、観察に際し、御教示と御協力を頂いた大阪府立成人病センター組織培養室久長森陽一博士、本学第二口腔外科学教室中村正之博士に厚く御礼申し上げます。

また、種々の御教示と御援助を下さった生化学教室の諸先生方に深謝致します。

STUDIES ON THE ROLE OF POLYAMINES IN THE PROLIFERATION
OF MOUSE EPIDERMIS

Masaharu TAKIGAWA

Department of Biochemistry, Osaka University Dental School,

32 Joan-cho, Kita-ku, Osaka, Japan

The relation between polyamine metabolism and cell proliferation in mouse dorsal epidermis was investigated.

The activity of ornithine decarboxylase in mouse skin increased very rapidly after a single application of ethylphenylpropionate (EPP), a potent hyperplastic agent of epidermis. It reached a maximum after 8 hr and then decreased abruptly to one fifth of the maximum in the next 5 hr. S-Adenosylmethionine decarboxylase was induced by EPP but increase in its activity was slower and less pronounced than that of ornithine decarboxylase. The tissue concentration of putrescine changed in parallel with change in ornithine decarboxylase activity and was maximal 8 hr after EPP treatment. The spermidine level decreased significantly 4-6 hr after EPP treatment, when putrescine formation from spermidine was accelerated, and increased to 30% more than the normal level at 28 hr. The spermine level did not change within 28 hr after EPP treatment. The highest activity of DNA synthesis was observed at 24 hr, and the mitotic activity of basal cells was reached to the maximum 36 hr after the application of EPP.

Administration of DL- α -hydrazino- δ -aminovaleric acid (DL-HAVA), a potent and fairly specific inhibitor of ornithine decarboxylase, greatly depressed the increase in putrescine level in EPP-stimulated mouse skin but had little effect on the change in spermidine concentration. Under the same conditions, examination of DNA synthesis and the histological appearance of the skin showed that DL-HAVA also inhibited induction of cell proliferation by EPP. The inhibition by DL-HAVA was reversed by administration of putrescine, but not cadaverine or 1,7-diaminoheptane.

From these results, it is suggested that the rise in the putrescine level induced by EPP is a requisite for subsequent cell proliferation of the epidermis of mice.

文献

- 1) Tabor, H. and Tabor, C. W. (1964): Spermidine, spermine, and related amines. Pharmacol. Rev. 16, 245~300.
- 2) Bachrach, U. (1973): Functions of naturally occurring polyamines. Academic Press Inc., New York and London, 1~211.
- 3) Snyder, S. H. and Russell D. H. (1970): Polyamine synthesis in rapidly growing tissues. Fed. Proc. 29, 1575~1582.
- 4) Russell, D. H. (1973): Polyamines in growth—normal and neoplastic; in Polyamines in normal and neoplastic growth. (Russell, D. H., editor). Raven Press, New York, 1~13.
- 5) 竹田義朗 (1974): 成長とポリアミン. 代謝, 11, 699~712, 昭和49.
- 6) 竹田義朗, 井上秀夫 (1975): ポリアミンと細胞増殖, ホルモンと臨床, 23, 111~119, 昭和50.
- 7) Raina, A. and Jänne, J. (1975): Physiology of the natural polyamines putrescine, spermidine and spermine. Med. Biol. 53, 121~147.
- 8) Baird, W. M., Sedgwick, J. A. and Boutwell, R. K. (1971): Effects of phorbol and four diesters of phorbol on the incorporation of tritiated precursors into DNA, RNA, and protein in mouse epidermis. Cancer Res. 31, 1434~1439.

- 9) Raick, A. N. (1973): Ultrastructural, histological, and biochemical alterations produced by 12-O-tetradecanoyl-phorbol-13-acetate on mouse epidermis and their relevance to skin tumor promotion. Cancer Res. 33, 269~286.
- 10) Raick, A. N. and Burdzy, K. (1973): Ultrastructural and biochemical changes induced in mouse epidermis by a hyperplastic agent, ethylphenylpropionate. Cancer Res. 33, 2221~2230.
- 11) Raick, A. N. (1974): Cell proliferation and promoting action in skin carcinogenesis. Cancer Res. 34, 920~926.
- 12) Krieg, L., Kühlmann, I. and Marks, F. (1974): Effect of tumor-promoting phorbol esters and of acetic acid on mechanisms controlling DNA synthesis and mitosis (chalones) and on the biosynthesis of histidine-rich protein in mouse epidermis. Cancer Res. 34, 3135~3146.
- 13) Sawayama, T., Kinugasa, H. and Nishimura, H. (1976): Syntheses of ornithine decarboxylase inhibitors: D- and DL- α -hydrazinoornithine. Chem. Pharm. Bull. 24, 326~329.
- 14) Inoue, H., Tanioka, Y., Shiba, K., Asada, A., Kato, Y. and Takeda, Y. (1974): Effect of isoproterenol on polyamine metabolism in mouse salivary glands. J. Biochem. 75, 679~687.
- 15) 谷岡博昭、芝憲三、井上秀夫、加藤幸夫、浅田彬
滝川正春、尾野雅義。(1974): イソプロテレノールによる
マウス唾液腺の増殖とポリアミン代謝。阪大歯学誌, 19,
113~121, 昭和49。

- 16) Jänne, J. and Williams-Ashman, H..G. (1971): Dissociation of putrescine-activated decarboxylation of S-adenosyl-L-methionine from the enzymic synthesis of spermidine and spermine by purified prostatic enzyme preparations. Biochem. Biophys. Res. Commun. 42, 222~229.
- 17) Mizutani, A., Inoue, H., and Takeda, Y. (1974): Changes in polyamine metabolism during wound healing in rat skin. Biocim. Biophys. Acta 338, 183~190.
- 18) Dion, A. S. and Herbst, E..J. (1970): Polyamine changes during development of Drosophila melanogaster. Ann. N. Y. Acad. Sci. 171, 723~734.
- 19) Steele, W. J., Okamura, N. and Busch, H. (1964): Prevention of loss of RNA, DNA and protein into lipid solvents. Biochim. Biophys. Acta 87, 490~492.
- 20) Schmidt, G. and Thannhauser, S. J. (1945): A method for the determination of deoxyribonucleic acid, ribonucleic acid and phosphoproteins in animal tissues. J. Biol. Chem. 161, 83~89.
- 21) Lowry, O. H., Rosebrough, N. J., Farr, A. L. and Randall, R. J. (1951): Protein measurement with the Folin phenol reagent. J. Biol. Chem. 193, 265~275.

- 22) Schneider, W. C. (1945): Phosphorus compounds in animal tissues.
I. Extraction and estimation of desoxypentose nucleic acid
and of pentose nucleic acid. J. Biol. Chem. 161, 293~303.
- 23) Cooper, Z. K. and Franklin, H. C. (1940): Mitotic rhythm in
the epidermis of the mouse. Anat. Rec. 78, 1~8.
- 24) 佐野 豊 (1975); 組織学研究法—理論と術式—. 4版, 南山堂, 東京,
55~246, 昭和 50.
- 25) 加藤幸夫 (1976): イソプロテレノールによるマウス耳下腺の
増殖におけるホリアミンの役割. 阪大歯学誌, 21, 校正時記, 昭和 51.
- 26) 井上秀夫, 浅田彬, 加藤幸夫, 竹田義朗 (1976):
組織増殖の初期段階におけるスペルミシン代謝に関する研究,
生化学, 48, 468, 昭和 51.
- 27) O'Brien, T. G., Simsman, R. C. and Boutwell, R.K. (1975):
Induction of the polyamine-biosynthetic enzymes in mouse epidermis
by tumor-promoting agents. Cancer Res. 35, 1662~1670.
- 28) O'Brien, T. G., Simsman, R. C. and Boutwell, R. K. (1975):
Induction of the polyamine-biosynthetic enzymes in mouse epidermis
and their specificity for tumor promotion. Cancer Res. 35,
2426~2433.
- 29) O'Brien, T. G. (1976): The induction of ornithine decarboxylase
as an early, possibly obligatory, event in mouse skin carcinogenesis.
Cancer Res. 36, 2644~2653.

- 30) Probst, E. and Krebs, A. (1975): Ornithine decarboxylase activity in relation to DNA synthesis in mouse interfollicular epidermis and hair follicles. Biochim. Biophys. Acta 407, 147~157.
- 31) Siimes, M. (1967) : Studies on the metabolism of 1,4-¹⁴C-spermidine and 1,4-¹⁴C-spermine in the rat. Acta Physiol. Scand. Suppl. 298, 1~66.
- 32) Hölttä, E., Sinervirta, R. and Jänne, J. (1973): Synthesis and accumulation of polyamines in rat liver regenerating after treatment with carbon tetrachloride. Biochem. Biophys. Res. Commun. 54, 350~357.
- 33) Russell, D. H. and Snyder, S. H. (1968); Amine synthesis in rapidly growing tissues: Ornithine decarboxylase activity in regenerating rat liver, chick embryo, and various tumors. Proc. Nat. Acad. Sci. U.S.A. 60, 1420~1427.
- 34) Hölttä, E., and Jänne, J. (1972): Ornithine decarboxylase activity and the accumulation of putrescine at early stages of liver regeneration. FEBS Lett. 23, 117~121.
- 35) Hayashi, S., Aramaki, Y. and Noguchi, T. (1972): Diurnal change in ornithine decarboxylase activity of rat liver. Biochem. Biophys. Res. Commun. 46, 795~800.
- 36) Raina, A. and Jänne, J. (1970): Polyamines and the accumulation of RNA in mammalian systems. Fed. Proc. 29, 1568~1574.

- 37) Pegg, A. E., Lockwood, D. H. and Williams-Ashman, H. G. (1970): Concentrations of putrescine and polyamines and their enzymic synthesis during androgen-induced prostatic growth. Biochem. J. 117, 17~31.
- 38) Russell, D. H. and Taylor, R. L. (1971): Polyamine synthesis and accumulation in the castrated rat uterus after estradiol-17 β stimulation. Endocrinology 88, 1397~1403.
- 39) Kato, Y., Inoue, H., Gohda, E., Tamada, F. and Takeda, Y. (1976): Effect of DL- α -hydrazino- δ -aminovaleric acid, an inhibitor of ornithine decarboxylase, on polyamine metabolism and growth of mouse sarcoma-180. Gann 67, (in press).
- 40) Fillingame, R. H. and Morris, D. R. (1973): Polyamine accumulation during lymphocyte transformation and its relation to the synthesis, processing, and accumulation of ribonucleic acid. Biochemistry 12, 4479~4487.
- 41) Heby, O., Marton, L. J., Zardi, L., Russell, D. H. and Baserga, R. (1975): Changes in polyamine metabolism in W138 cells stimulated to proliferate. Exp. Cell Res. 90, 8~14.
- 42) Williams-Ashman, H. G., Coppoc, G. L. and Weber, G. (1972): Imbalance in ornithine metabolism in hepatomas of different growth rates as expressed in formation of putrescine, spermidine, and spermine. Cancer Res. 32, 1924~1932.

<脚注>

著者の所属

大阪大学医学部生化学講座

(主任 竹田義郎教授)

図の説明

図2. EPP塗布後の皮膚DNA合成能の変動

EPPは $15\text{ }\mu\text{mol}/\text{マウス}$ を塗布した。

屠殺20分前に[メチル- ^3H]チミジン($20\text{ }\mu\text{Ci}/\text{マウス}$)を皮下注射し、DNAへのとりこみを測定した。数値は4~13匹のマウスより得た結果の平均値±標準誤差。

図3. EPP塗布後の表皮の非角化層の厚さ、有核細胞層数ならびに基底細胞の分裂指數の変動。

EPPは $15\text{ }\mu\text{mol}/\text{マウス}$ を塗布した。

細胞分裂指數を調べる際にはコルヒチン($5\text{ mg/kg$ 体重)を屠殺1時間前に腹腔内注射した。数値は4~10匹のマウスから得た値の平均値±標準誤差。

○—○：細胞分裂指數

●—●：有核細胞層数

□—□：非角化層の厚さ

図4、EPP塗布量と皮膚オルニチン脱炭酸酵素活性との関係。

種々の量のEPPを塗布し、8時間後の酵素活性を測定した。数値は3~8匹のマウスから得た値の平均値±標準誤差。

図5、EPP塗布後のオルニチンならびにS-アデノシルメチオニン脱炭酸酵素活性の変動。

EPPは $15\mu\text{mol}/\text{マウス}$ 塗布した。数値は4~9匹のマウスから得た結果の平均値±標準誤差。

○—○：オルニチン脱炭酸酵素

●—●：S-アデノシルメチオニン脱炭酸酵素

図6、EPP塗布後の皮膚ポリアミンレベルの変動

EPPは $15\mu\text{mol}/\text{マウス}$ を塗布した。

数値は8~30匹のマウスより得た結果の平均値±標準誤差。

○—○：アトレッシン

●—●：スペルミジン

□—□：スペルミン

図7、EPPによるマウス表皮増殖に及ぼす
DL-HAVAの影響。

マウスはEPP($15\mu\text{mol}/\text{マウス}$)塗布
36時間後に屠殺した。DL-HAVA
($0.4\text{nmoI/kg$ 体重)はEPP塗布4時
間後に腹腔内注射した。アトレッシン
(0.5mmol/kg 体重)はDL-HAVA投
与30分後と4時間後に腹腔内注射し
た。

A. アセトン塗布(対照)。

表皮は薄く、1~2層の有核細胞と薄
い角化層がみえた。
($\times 200$)

B. EPP塗布。

表皮は著明に肥厚し、顆粒層、錯角化
および核分裂像がみられた。
($\times 200$)

C. EPP塗布後DL-HAVAを投与。

B. にみられたような組織学的变化は

認められず、A. に近い組織像を示す
($\times 200$)

D. EPP および DL-HAVA で処置した
の 5 ヶ月後と同様に表皮の肥厚がみら
れ、顆粒層、錯角化および核分裂像も

みられた。
($\times 200$)

表の説明

表1. スペルミジンよりのアトレスシン生成に及ぼすEPPの影響。

マウスはEPP ($1.5\mu\text{mol}$ /マウス) 塗布6時間後に屠殺した。[テトラメチレン1,4- ^{14}C]スペルミジンはEPP塗布1時間前に $1\mu\text{Ci}$ /マウスを皮下注射した。右端のアトレスシン生成量はスペルミジンの放射能比活性とアトレスシン中の放射能より算出した。数値は6匹のマウスから得た結果の平均値土標準誤差。

表2. EPPによる皮膚ポリアミンレベルの変動に及ぼすDL-HAVAの影響

マウスはEPP ($1.5\mu\text{mol}$ /マウス) 塗布8時間後に屠殺した。DL-HAVA ($0.4\text{mmol}/\text{Kg}$ 体重) はEPP塗布4時間後に腹腔内注射した。アトレスシン ($0.5\text{mmol}/\text{Kg}$ 体重) は屠殺1時間前に腹腔内注射した。数値は平均値土標準誤差。

標準誤差。

表3. EPPによる皮膚DNA合成能の上昇
に及ぼすDL-HAVAの影響

マウスはEPP ($15\mu\text{mol}$ /マウス) 塗布
20時間後に屠殺した。DL-HAVA
($0.4\text{ mmol}/\text{kg}$ 体重) はEPP塗布4時
間後に腹腔内注射した。アトレンシン
、カタベリンあるいは1,7-ジアミノヘ
クチランは、DL-HAVA投与30分後
および4時間後に $0.5\text{ mmol}/\text{kg}$ 体重を
腹腔内注射した。その他、実験条件は
実験方法に記載した *in vitro* の方
法に従った。数値は平均値±標準誤差

表4. EPP塗布による表皮の基底細胞の分
裂指数、有核細胞層数ならびに非角化
層の厚さの増加に及ぼすDL-HAVA
の影響。

マウスはEPP ($15\mu\text{mol}$ /マウス) 塗
布36時間後に屠殺した。DL-HAV

A (0.4 mmol/kg 体重) は EPP 塗布 4 時間後に腹腔内注射した。アトレンシンあるいはカタベリンは、DL-HA \checkmark A 投与 30 分後および 4 時間後に 0.5 mmol/kg 体重を腹腔内注射した。細胞分裂指數を調べた際には、コルヒチン (5 mg/kg 体重) を屠殺 4 時間前に腹腔内注射した。数値は 4 ~ 8 匹のマウスから得た結果、平均値 \pm 標準誤差。

図1. 動物組織におけるポリアミン
合成経路

アルギニン

オルニチン

メタオニン

オルニチン
脱炭酸酵素

S-アデノシルメタオニン

CO_2
アントレウシン

活性化

S-アデノシルメタオニン
脱炭酸酵素

スペルミジン
合成酵素

S-アデノシルメタオニン

脱炭酸生成物

スペルミジン
 $\text{H}_2\text{N}(\text{CH}_2)_4\text{NH}(\text{CH}_2)_3\text{NH}_2$

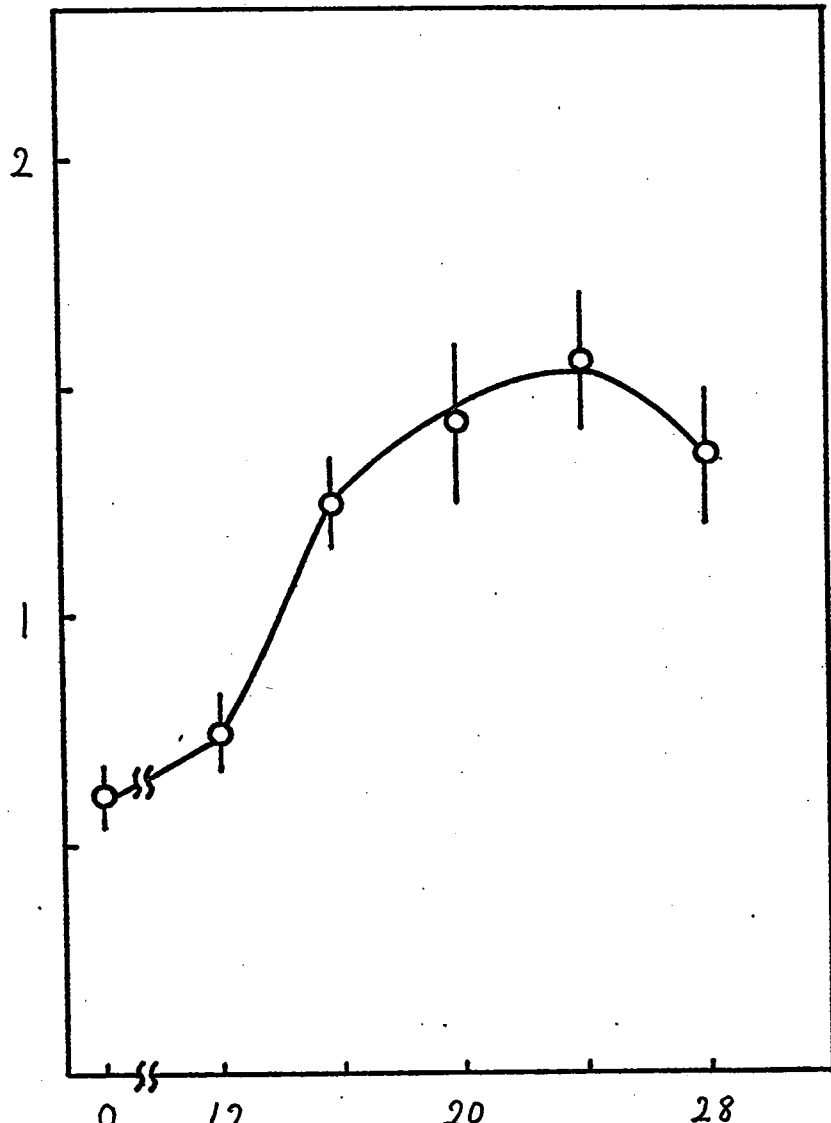
メチルメタオニン

スペルミジン

スペルミジン
合成酵素

^{3}H -thymidine の DNAへの取り込み量 ($\text{dpm} \times 10^{-4}/\text{mg DNA}$)

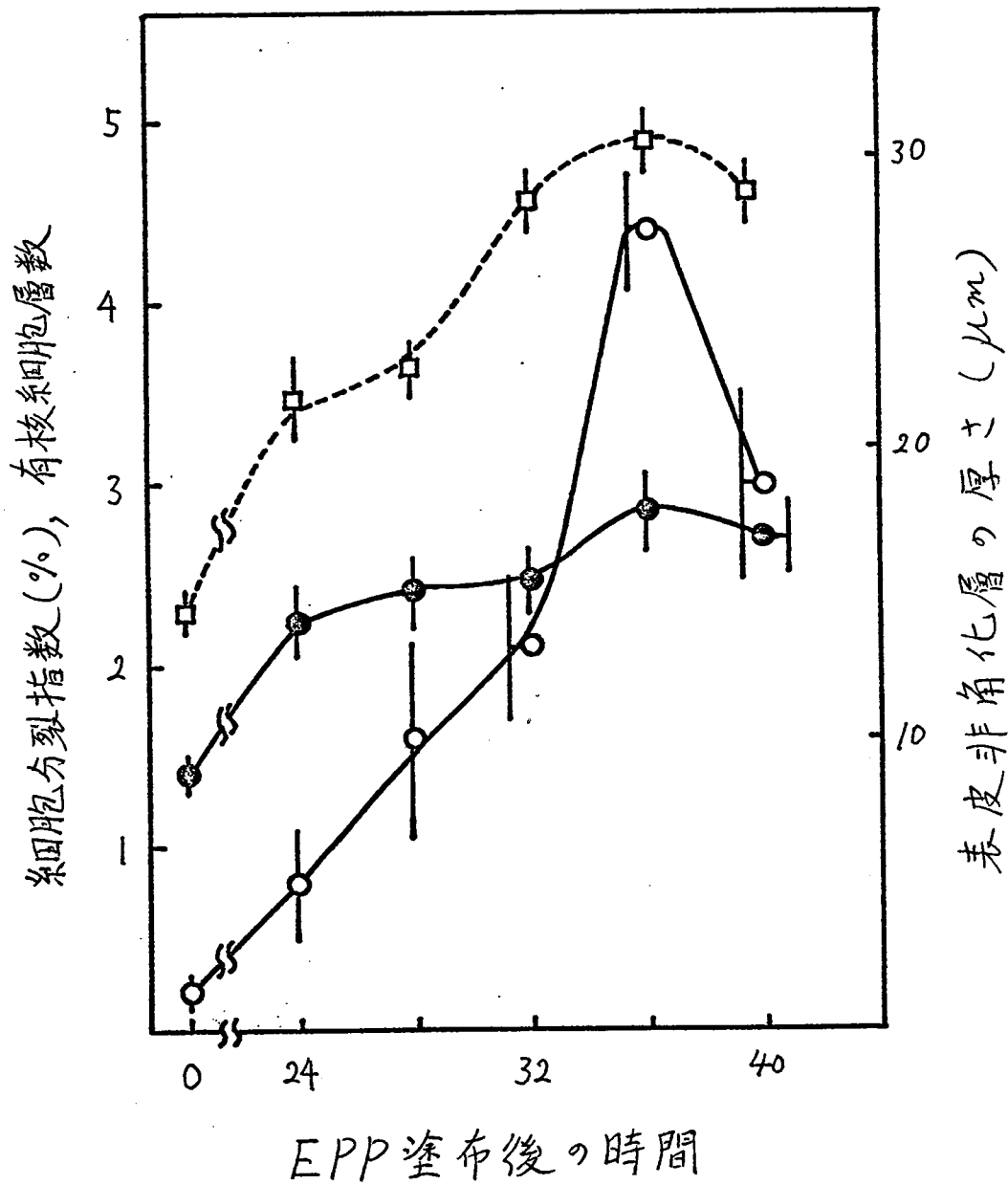
回 2



EPP 塗布後の時間

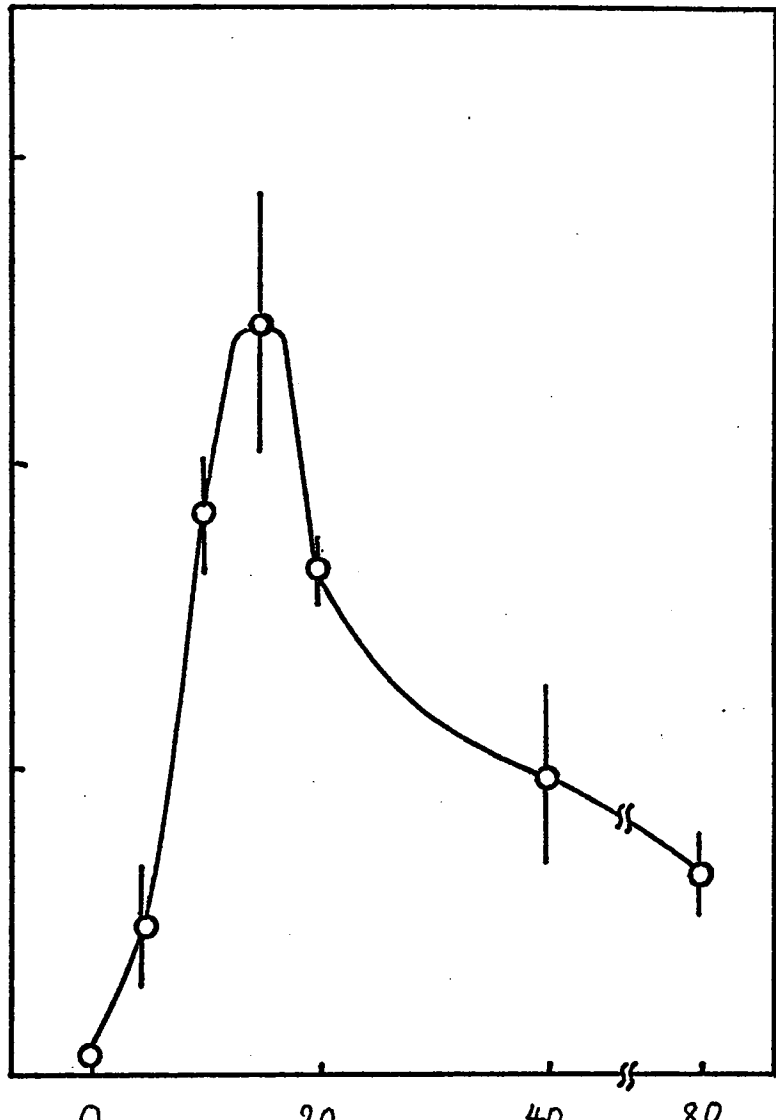
四

3



才) ニチニ脱炭酸酵素活性 (units/mg 蛋白)

3
2
1



EPP塗布量 ($\mu\text{mol}/\text{マウス}$)

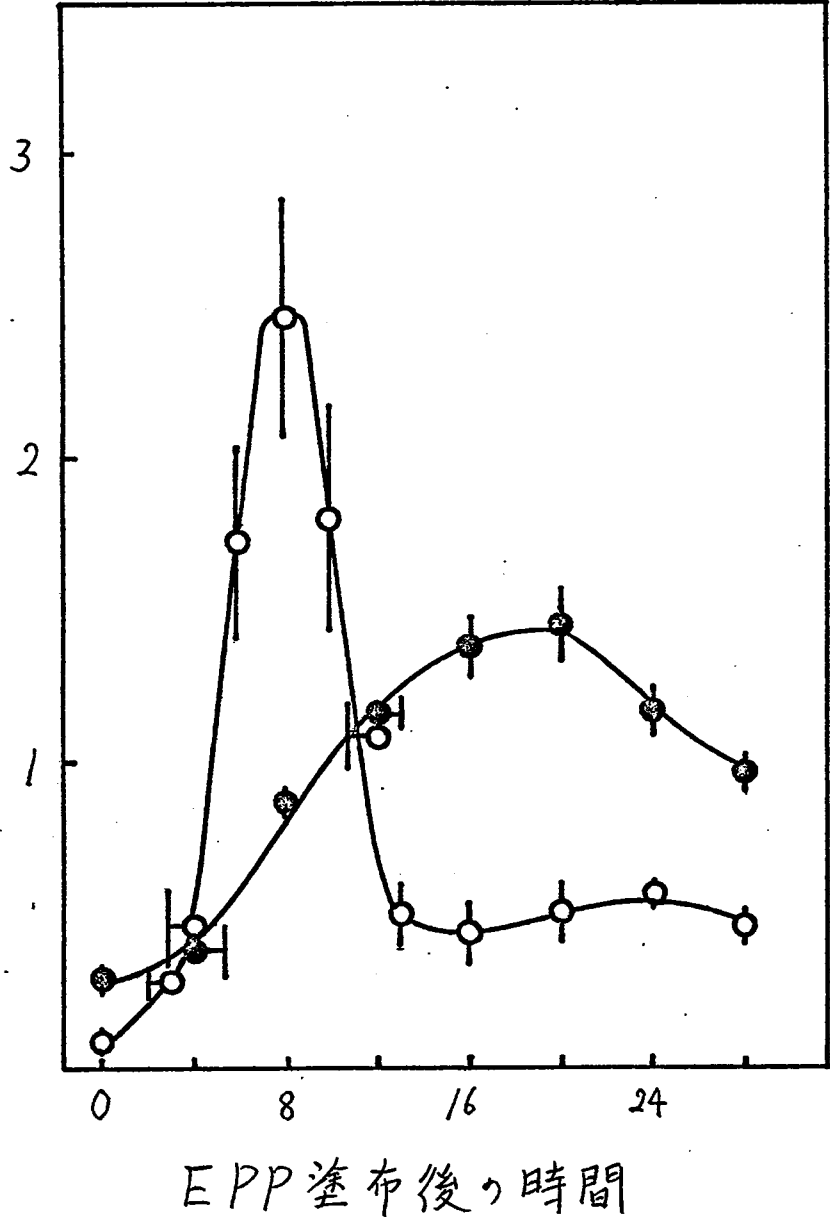
四

4

圖

5.

脱炭酸酵素活性 (Units/mg 蛋白)



図

6.

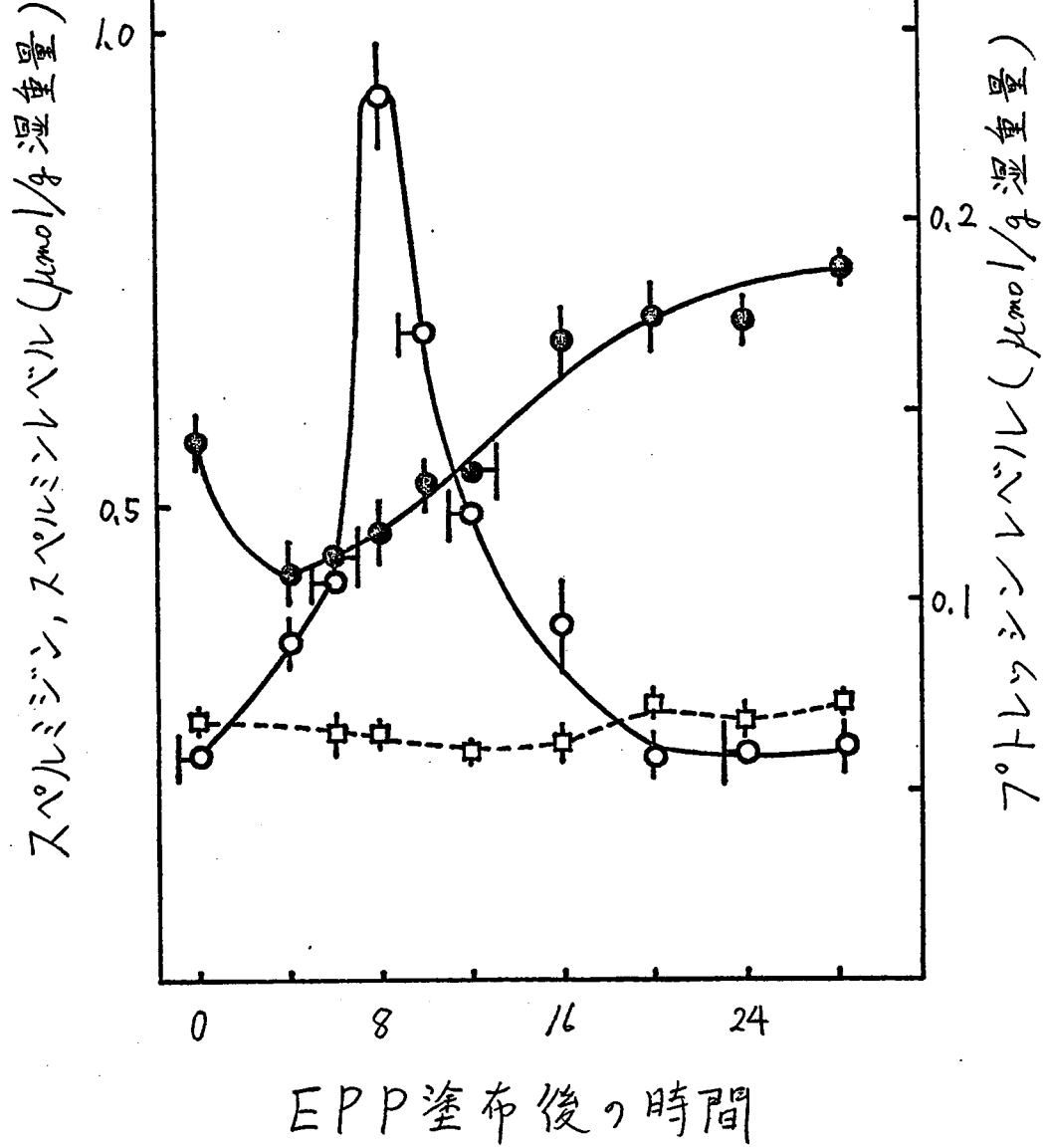


表 1

処置	ポリアミンレベル(nmol/g湿重量)		スペルミジンの比活性 dpm/nmol	アトレスシン生成	
	アトレスシン	スペルミジン		dpm/g湿重量	nmol/g湿重量
アセトン	60 ± 7	550 ± 23	115 ± 11	1486 ± 139	11.6 ± 1.4
EPP	101 ± 7	444 ± 19	109 ± 10	4270 ± 711	38.2 ± 2.9

表 2

處置	使用マウス数	フロトレッシン		スペルミジン	
		nmol/g 湿重量	%	nmol/g 湿重量	%
アセトン	19	59 ± 6	100	561 ± 23	100
EPP	17	233 ± 14	395	473 ± 31	84
EPP+DL-HAVA	10	129 ± 8	219	442 ± 16	79
EPP+DL-HAVA+ フロトレッシン	8	211 ± 3	358	554 ± 31	99

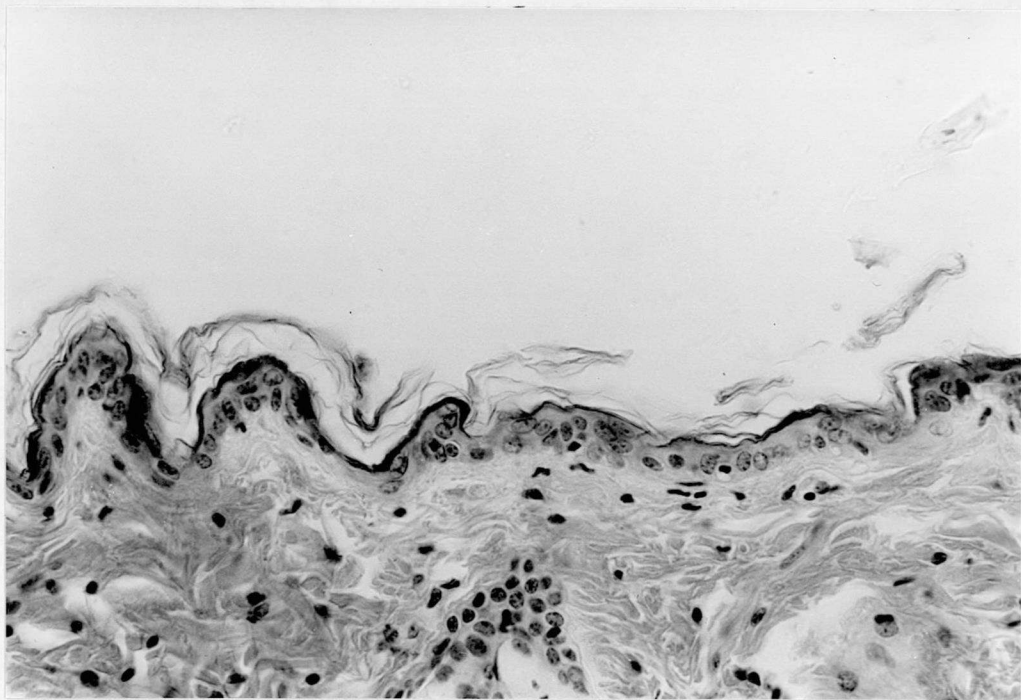
表 3

処 置	使用マ ウス数	DNA 合成	
		dpm×10 ⁻⁴ /mg DNA	%
アセトン	4	3.67 ± 0.16	100
EPP	14	6.29 ± 0.34	171
EPP+ フォトレッシン	4	6.52 ± 0.67	178
EPP+DL-HAVA	10	3.98 ± 0.17	108
EPP+DL-HAVA+ フォトレッシン	7	6.64 ± 0.28	181
EPP+DL-HAVA+ カタベリン	4	3.82 ± 0.27	104
EPP+DL-HAVA + 1,7-ジアミヘプタン	3	3.99 ± 0.20	109

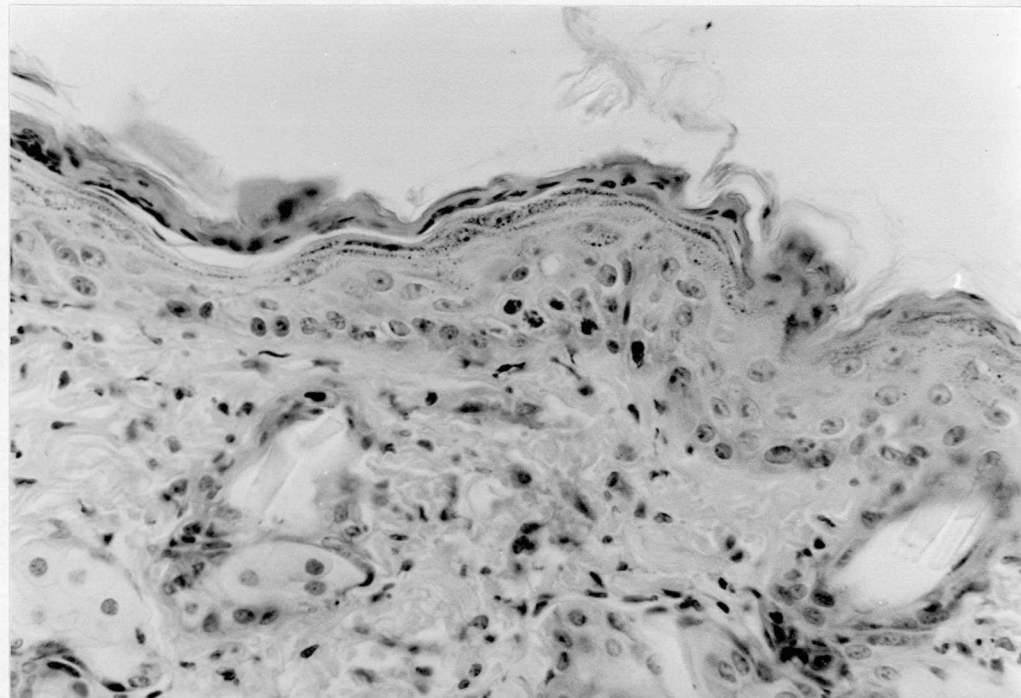
表 4

処置	細胞分裂指数 (%)	有核細胞層数	非角化層厚さ (μm)
アセトン	1.3 ± 0.3	1.4 ± 0.1	14.4 ± 0.8
EPP	11.2 ± 1.1	2.8 ± 0.1	31.6 ± 0.8
EPP+ 7°トレッシン	11.5 ± 0.8	2.7 ± 0.1	27.9 ± 0.4
EPP+DL-HAVA	3.2 ± 0.6	1.4 ± 0.1	13.4 ± 1.5
EPP+DL-HAVA + 7°トレッシン	11.8 ± 1.6	2.7 ± 0.2	28.9 ± 1.3
EPP+DL-HAVA + カダベリン	4.2 ± 0.4	1.5 ± 0.1	16.6 ± 2.0

7-A



7-B



縮 1/2

